



بیست و هشتمین کنفرانس اپتیک و فوتونیک ایران و چهاردهمین کنفرانس مهندسی و فناوری فوتونیک ایران، دانشگاه شهید چمران اهواز، خوزستان، ایران.  
۱۴-۱۲ بهمن ۱۴۰۰



## تأثیر تحدید کوانتومی بر آستانه MEG در نانوخوشه های $Ga_8X_8$ ( $X=P, As, Sb$ )

مهدی گردی ارمکی<sup>۱،۲</sup>، محمد کاظم مروج فرشی<sup>۲</sup>

<sup>۱</sup> پژوهشگاه توسعه فناوری های پیشرفته ، تهران

<sup>۲</sup> هسته پژوهشی نانو پلاسمو فوتونیک، دانشکده مهندسی برق و کامپیوتر، دانشگاه تربیت مدرس، تهران

چکیده - ما در کار حاضر تاثیر تحدید کوانتومی را بر آستانه فرآیند تکثیر اکسیتونی (MEG) در سه نانوخوشه ترکیبی  $Ga_8X_8$  ( $X=P, As, Sb$ ) بررسی کرده ایم. مطالعه این تاثیر با استفاده از روش بس ذره ای EOM-CCSD و تعریف مفاهیم "احتمال کوانتومی MEG" و "درجه تحدید کوانتومی،  $\lambda$ " انجام شده است. نتایج نشان می دهند که با سنگینتر شدن عنصر  $X$ ، درجه تحدید کوانتومی در ساختار بیشتر شده که این باعث کاهش گاف HOMO-LUMO ( $E_{HL}$ ) و آستانه فرآیند تکثیر اکسیتونی ( $E_{TH}$ ) در نانوخوشه می شود. شبیه سازی های ما نشان می دهند که با سنگین تر شدن اتم تشکیل دهنده نانوخوشه، برخلاف افزایش غیرخطی درجه تحدید کوانتومی، کاهش  $E_{TH}$  و  $E_{HL}$  تقریباً به صورت خطی می باشد.

کلید واژه: تکثیر اکسیتونی، تحدید کوانتومی، نانوکلاستر

## The Effect of Quantum Confinement on MEG Threshold in $Ga_8X_8$ ( $X=P, As, Sb$ ) Nanoclusters

Mahdi Gordi-Armaki<sup>۱،۲</sup>, Mohammad Kazem Moravvej-Farshi<sup>۲</sup>

<sup>۱</sup> پژوهشگاه توسعه فناوری های پیشرفته، تهران

<sup>۲</sup> هسته پژوهشی نانو پلاسمو فوتونیک، دانشکده مهندسی برق و کامپیوتر، دانشگاه تربیت مدرس، تهران

Tarbiat Modares University, Tehran

**Abstract-** In this work, we investigated the effect of quantum confinement on the threshold of the multiple exciton generation (MEG) in three  $Ga_8X_8$  composite nanoclusters ( $X = P, As, Sb$ ). The study of this effect was studied using the EOM-CCSD many-body method and the definition of the concepts of "MEG quantum probability" and "degree of quantum confinement,  $\lambda$ ". The results show that as element  $X$  becomes heavier, the degree of quantum confinement in the structure increases, which reduces the HOMO-LUMO ( $E_{HL}$ ) gap and the threshold for MEG ( $E_{TH}$ ) in the nanocluster. Our simulations show that as the atom of the nanocluster becomes heavier, the decrease in  $E_{HL}$  and  $E_{TH}$  is almost linear, despite the nonlinear increase in the degree of quantum confinement.

Keywords: Multiple exciton generation, Quantum confinement, Nanocluster.

## مقدمه

$$MEG_{Q.P.} = \frac{\sum_{n=0}^2 n \langle \Phi | (R_{k,n})^\dagger R_{k,n} | \Phi \rangle}{\sum_{n=0}^2 \langle \Phi | (R_{k,n})^\dagger R_{k,n} | \Phi \rangle} \quad (1)$$

در رابطه بالا  $n$  درجه برانگیزش خطی و  $k$  شماره تراز مورد بررسی می‌باشد. پیکره‌بندی تراز  $k$  قبل و بعد از جذب فوتون با هم متفاوت است. هر پیکره‌بندی یک ضریبی دارد که آن ضریب میزان مشارکت یا وزن آن پیکره‌بندی را در ساختار الکترونی تراز برانگیخته شده  $k$  و تابع موج نهایی مشخص می‌کند. اگر در مجموع، وزن ضرایب آرایشی با برانگیزش یگانه از نظایر آن در برانگیزش دوگانه بیشتر باشد، احتمال تولید تک اکسیتون به ازای جذب فوتون در تراز  $k$  بیشتر خواهد بود. در طرف مقابل اگر وزن پیکره‌بندی‌های با برانگیزش دوگانه بیشتر باشد احتمال ایجاد فرآیند MEG با تشکیل دو اکسیتون افزایش خواهد یافت. در مجموع چنین می‌توان گفت که خروجی رابطه (۱) میزان احتمال کوانتومی وقوع MEG در تراز  $k$  خواهد بود.

## جزئیات شبیه سازی و نتایج

در کار حاضر به شبیه‌سازی عددی فرآیند تکثیر چند اکسیتونی در سه نانوکریستال گروه III-V یعنی  $GaAs$ ،  $GaP$ ،  $GaAs$  و  $GaSb$  پرداخته شده است. به علت حجم بسیار بالای محاسبات در روش EOM-CCSD و محدود بودن منابع پردازشی، تعداد اتم نانوکلاسترهای مذکور ۱۶ انتخاب شدند. برای دستیابی به هندسه پایدار نانوکلاستر شامل طول و زاویه‌های میان پیوندهای مجاور، به عنوان اولین و ضروری‌ترین مرحله دستیابی به خواص آن ساختار، باید کمینه فراگیر انرژی تابع موج آن نانوکلاستر را محاسبه کرد. بدین منظور ما از ساختار رینگ برای نانوکلاسترهای ۱۶ اتمی استفاده کرده و در ادامه با استفاده از بسته نرم افزاری GAMESS و روش DFT با تابعیت  $B3PW91$  و با استفاده از مجموعه پایه Sapporo triple zeta بهینه‌ترین

در دو دهه اخیر مطالعات زیادی درباره فرآیند تکثیر اکسیتونی (MEG) در نانوکریستال‌ها به خصوص در گروه III-V صورت گرفته است [۱-۴]. برخلاف کارهای آزمایشگاهی که کنترل شرایط و نیز ایجاد شرایط کاملاً یکسان برای دو آزمایش در آن نسبتاً سخت است، در تئوری راحت‌تر می‌توان شرایط قابل کنترل و یکسانی را برای مقایسه ایجاد کرد و بنابراین انتظار نتایج مقایسه‌ای معقول‌تری داشت. تاکنون بیشترین تحقیقات انجام شده مربوط به تاثیر تحدید کوانتومی بر "شکاف انرژی" در نانوساختارهای صفر، یک و دوبعدی بوده است [۵]. کار حاضر به تاثیر تحدید کوانتومی بر فرآیند تکثیر اکسیتونی در سه نانوخوشه ۱۶ اتمی از گروه III-V پرداخته است. در این شبیه‌سازی، از روش بس‌ذره‌ای «معادله حرکت خوشه جفت شده» استفاده شده است.

## روش محاسباتی

روش «معادله حرکت خوشه جفت شده» یا به اختصار EOM-CC از جمله روش‌های پسا‌هارتی فاک است که توانایی توصیف دقیق فرآیندهای برانگیزش چندگانه را در نانوساختارهای با ابعاد کوچک و متوسط دارد [۶]. در این روش، حالت پایه موسوم به «حالت خوشه جفت شده» با اعمال عملگر نمایی برانگیزش به دترمینان مرجع که معمولاً، دترمینان هارتی فاک متناهی است، به‌دست می‌آید. با اعمال یک عملگر برانگیزش خطی به تابع موج محاسبه شده برای حالت پایه‌ی خوشه‌ی جفت شده، تابع موج دقیق حالت‌های برانگیخته را نیز می‌توان به‌دست آورد. بنابراین یکی از روش‌های بدست آوردن احتمال کوانتومی MEG، محاسبه نسبت احتمال برانگیزش یگانه و دوگانه در روش EOM-CCSD می‌باشد؛

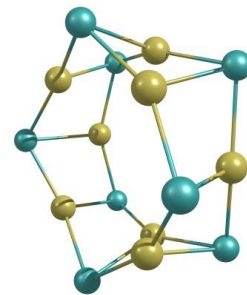
و کمترین گاف انرژی به ترتیب مربوط به نانوکلاسترهای  $Ga_8P_8$  و  $Ga_8Sb_8$  می باشد.

تاثیر کاهش ابعاد نانوساختارها بر تغییرات گاف انرژی و بقیه خصوصیات الکترونیکی نیمه هادی با اصطلاح تحدید کوانتومی شناخته شده است و شدت آن در مواد مختلف می تواند متفاوت باشد. مطالعات [۵] نشان می دهند که مواد گروه III-V می توانند وابستگی شدیدی به اندازه ساختار و انحراف چشمگیری از خصوصیات حالت بالکی نشان دهند. ما در کار حاضر برای مقایسه بهتر فرآیند MEG در نانوخوشه ها از نسبت شعاع اکسیتونی بوهر، به قطر نانوخوشه - در اینجا حداکثر فاصله مابین دو اتم در نانوساختار - ( $\lambda = r/a_b$ )، برای ارزیابی درجه تحدید کوانتومی،  $\lambda$ ، در آنها استفاده کرده ایم. شعاع اکسیتونی بوهر،  $a_b$ ، فاصله احتمالی مابین یک جفت الکترون - حفره می باشد که توسط نیروی کولنی در یک نیمه هادی توده محصور شده است. مقادیر  $a_b$  و همچنین  $\lambda$ ، برای نانوخوشه های مورد مطالعه در جدول ۱ درج شده اند. همانگونه که از جدول دیده میشود در ساختار ۱۶ اتمی  $GaX_8$  ( $X=P, As, Sb$ ) با افزایش عدد اتمی عنصر  $X$ ، درجه تحدید کوانتومی،  $\lambda$ ، بیشتر می شود، به طوریکه بیشترین و کمترین مقادیر  $\lambda$  به ترتیب مربوط به نانوکلاسترهای  $Ga_8P_8$  و  $Ga_8Sb_8$  می باشد.

با بررسی و مقایسه مقادیر  $\lambda$  و  $E_{HL}$  در جدول می توان به این استنتاج رسید که اگرچه رابطه خطی بین این دو پارامتر برقرار نیست اما عموماً با افزایش درجه تحدید کوانتومی در نانوخوشه ها، تفاوت گاف انرژی نانوخوشه با نمونه بالکی اش بیشتر می شود.

نمودارهای احتمال کوانتومی MEG برحسب الکترون ولت برای ۳ نانوکلاستر در شکل ۲ نشان داده شده است. برای دستیابی به این نمودارها ابتدا با استفاده از رابطه (۱) اندازه های احتمال کوانتومی MEG مربوط به اولین ۶۰۰

ساختارهای اتمی را برای این نانوکلاسترها بدست آوردیم. نتایج محاسبات ما نشان میدهد که تحت شرایط یکسان برای سه نانوکلاستر، ساختار اتمی آنها در حالت مشابه یکدیگر بوده و همچنان رینگ باقی مانده و تنها طول پیوندهای اتمی آنها تغییر می کند. شکل ۱ هندسه ساختاری نانوکلاسترها را نشان می دهد. مقادیر حداکثر طول بین باندی ( $d$ ) به عنوان معیاری از قطر در نانوکلاسترهای بهینه شده، در جدول ۱ آمده است.



شکل ۱: ساختار نانوخوشه های  $Ga_8P_8$ ،  $Ga_8As_8$  و  $Ga_8Sb_8$  که با روش DFT به حالت پایدار رسیده اند.

برای محاسبه روش EOM-CCSD ما از مجموعه پایه LANL۲DZ برای نانوکلاسترهای ۱۶ اتمی استفاده کرده ایم. در این محاسبات تنها اوربیتال های ظرفیت در ناحیه فعال در نظر گرفته شده و برای افزایش همگرایی از بزرگترین زیرگروه ابلین ممکن یعنی گروه نقطه ای  $C_{2v}$  استفاده شده است. شبیه سازی ها برای همه تقارن ها برای ۱۵۰ عدد از پایین ترین ترازهای انرژی انجام گرفته و در مجموع برای هر نانوکلاستر حداقل ۶۰۰ پایین ترین تراز انرژی را شامل شده است.

نتایج شبیه سازی گاف انرژی HOMO-LUMO ( $E_{HL}$ ) برحسب الکترون-ولت برای سه نانوکلاستر در جدول ۱ درج شده است. این شبیه سازی ها نشان می دهند که مقدار گاف نوری و  $E_{HL}$  برای نانوخوشه های مذکور یکسان است. همانگونه که از جدول دیده میشود با کاهش عدد اتمی عنصر  $X$ ، مقدار  $E_{HL}$  بزرگتر می شود، به طوریکه بیشترین

جدول ۱: نتایج شبیه سازی برای "شعاع اکسیتونی بوهر ( $ab$ )"،  
 "قطر نانوکلاستر ( $d$ )"، گاف HOMO-LUMO ( $E_{HL}$ )، "آستانه  
 MEG ( $E_{TH}$ )" و "درجه تحدید کوانتومی ( $\lambda$ )"

	Ga <sub>۸</sub> P <sub>۸</sub>	Ga <sub>۸</sub> As <sub>۸</sub>	Ga <sub>۸</sub> Sb <sub>۸</sub>
$a_b$ (nm) [ $\gamma$ ]	۵/۱۴	۱۵/۷۱	۳۷/۸
$d$ (Å)	۶/۵۷	۶/۹۰	۷/۵۱
$E_{HL}$ (eV)	۱/۷۸	۱/۴۴	۱/۰۹
$E_{Th}$ (eV)	۷/۶۸	۶/۷۸	۵/۸۰
$\lambda$	۷/۸	۲۲/۸	۵۰/۳

### نتیجه گیری

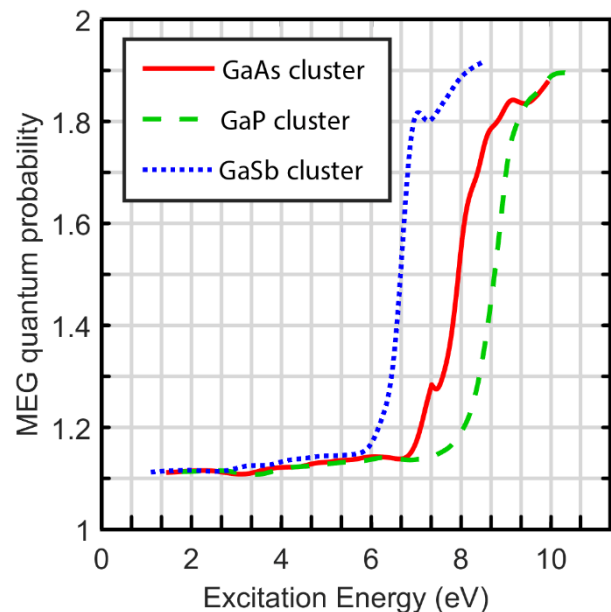
در کار حاضر ما به بررسی تاثیر تحدید کوانتومی قوی در  
 نانوکلاسترهای Ga<sub>۸</sub>P<sub>۸</sub>، Ga<sub>۸</sub>As<sub>۸</sub> و Ga<sub>۸</sub>Sb<sub>۸</sub> پرداخته ایم.  
 نتایج نشان می دهند که افزایش درجه تحدید کوانتومی در  
 ساختار منجر به کاهش گاف HOMO-LUMO و آستانه  
 فرآیند تکثیر اکسیتونی ( $E_{TH}$ ) در نانوخوشه می شود.

### مرجع ها

- [۱] Y. Wang, et.al, " GaAs Nanowires Grown by Catalyst Epitaxy for High Performance Photovoltaics", Crystals, Vol.۸, pp. ۳۴۷, ۲۰۱۸.
- [۲] J. Kong, et.al, "Plasmonic multiple exciton generation", Phys. Rev. Materials, Vol. ۳, pp. ۰۶۵۲۰۱, ۲۰۱۹.
- [۳] M. Gordi, et.al, "Multiple Exciton Generation in Si and Ge Nanocrystals: An ab Initio Comparative Study", J. Phys. Chem. C., Vol. ۱۲۱, pp. ۶۳۷۴, ۲۰۱۷.
- [۴] M. Gordi, et.al, "Effects of Electric Fields on Multiple Exciton Generation", ChemPhysChem, Vol. ۱۹, pp. ۲۷۸۲-۲۷۸۷, ۲۰۱۸.
- [۵] L. A. Cipriano, G. D. Liberto, S. Tosoni, G. Pacchioni, "Quantum Confinement in Group III-V Semiconductor ۱D Nanostructures", Nanoscale, Vol. ۱۲, pp. ۱۷۴۹۴-۱۷۵۰۱, ۲۰۲۰.
- [۶] K. Kowalski, P. Piecuch, "New coupled-cluster methods with singles, doubles, and noniterative triples for high accuracy calculations of excited electronic states," J. Chem. Phys., Vol. ۱۲۰, pp. ۱۷۱۵-۱۷۳۸, ۲۰۰۴.

تراز انرژی، برای هریک از نانوکلاسترها محاسبه شده و سپس این مقادیر به وسیلهی تابع اسپلاین csaps در نرم افزار متلب با ضریب  $p=۰,۹۵$  برازش شده اند. برای تخمین اندازه آستانه‌ی فرآیند تکثیر اکسیتونی،  $E_{TH}$ ، برای سه نانوکلاستر از روی نمودارهای شکل ۱، ابتدا معادله خط برازش شده بر هر نمودار در گستره‌ی ۱۰ تا ۷۰ درصدی دامنه‌ی آن نمودار محاسبه شده و از برخورد این خط با نمودار افقی، مقدار  $E_{TH}$  محاسبه می شود که مقادیر آن در جدول ۱ درج شده اند.

همانگونه که از شکل ۲ مشخص است زاویه شیب نمودارها، یا به عبارت دیگر، سرعت انتقال از ناحیه تک اکسیتونی به دواکسیتونی در نانوکلاسترها، خیلی مشابه یکدیگر هستند. همچنین از نتایج مندرج در جدول می توان دید که آستانه MEG در نانوکلاسترها رابطه معکوس با پارامتر درجه تحدید کوانتومی،  $\lambda$ ، دارد. در واقع افزایش  $\lambda$  باعث افزایش همپوشانی توابع موج الکترون و حفره شده و برهمکنش آنها را در نانوخوشه افزوده و به تبع آن باعث شدت اثر فرآیند MEG و کاهش آستانه آن می شود.



شکل ۲: نمودار احتمال کوانتومی MEG برای نانوخوشه های Ga<sub>۸</sub>P<sub>۸</sub>، Ga<sub>۸</sub>As<sub>۸</sub> و Ga<sub>۸</sub>Sb<sub>۸</sub> برحسب الکترون - ولت

بیست و هشتمین کنفرانس اپتیک و فوتونیک ایران و چهاردهمین کنفرانس مهندسی و فناوری فوتونیک ایران،  
دانشگاه شهید چمران اهواز، خوزستان، ایران، ۱۲-۱۴ بهمن ۱۴۰۰

[۷] L. D. Geoffrion, Gr. Guisbiers, "Quantum confinement: Size on the grill!", J. Phys. Chem. Solids, Vol. ۱۴۰, pp. ۱۰۹۳۲۰, ۲۰۲۰.